

Şekil 1. Yer bulduru haritası.

Figure 1. Location map.

Ölçülü stratigrafi kesitleri

Birimin taban ve tavan sınırı her yerde tam olarak gözlenemediği için tabandan tavana doğru kesit almaya elverişli yerler olan; Ziyaret Tepe, Çiftlik Tepe, Kireci Tepe, Orta Tepe ve Kuşalanı Köyü doğusu olmak üzere toplam 5 lokalite belirlenmiş ve buralardan ölçülu stratigrafi kesitleri alınmıştır. Kesitler en alta Mersin P35-c3 paftasında X1: 769925 m, Y1: 4000850 m, Z1: 140 m koordinatlarıyla Ziyaret Tepe Kesiti olarak başlamakta ve en üstte, Antakya P36-d4 paftasında; X2: 772500 m, Y2: 3998500 m, Z2: 165 m koordinatlarıyla Kuşalanı Kesiti olarak sona ermektedir (Şekil 2).

1. Ziyaret Tepe Kesiti

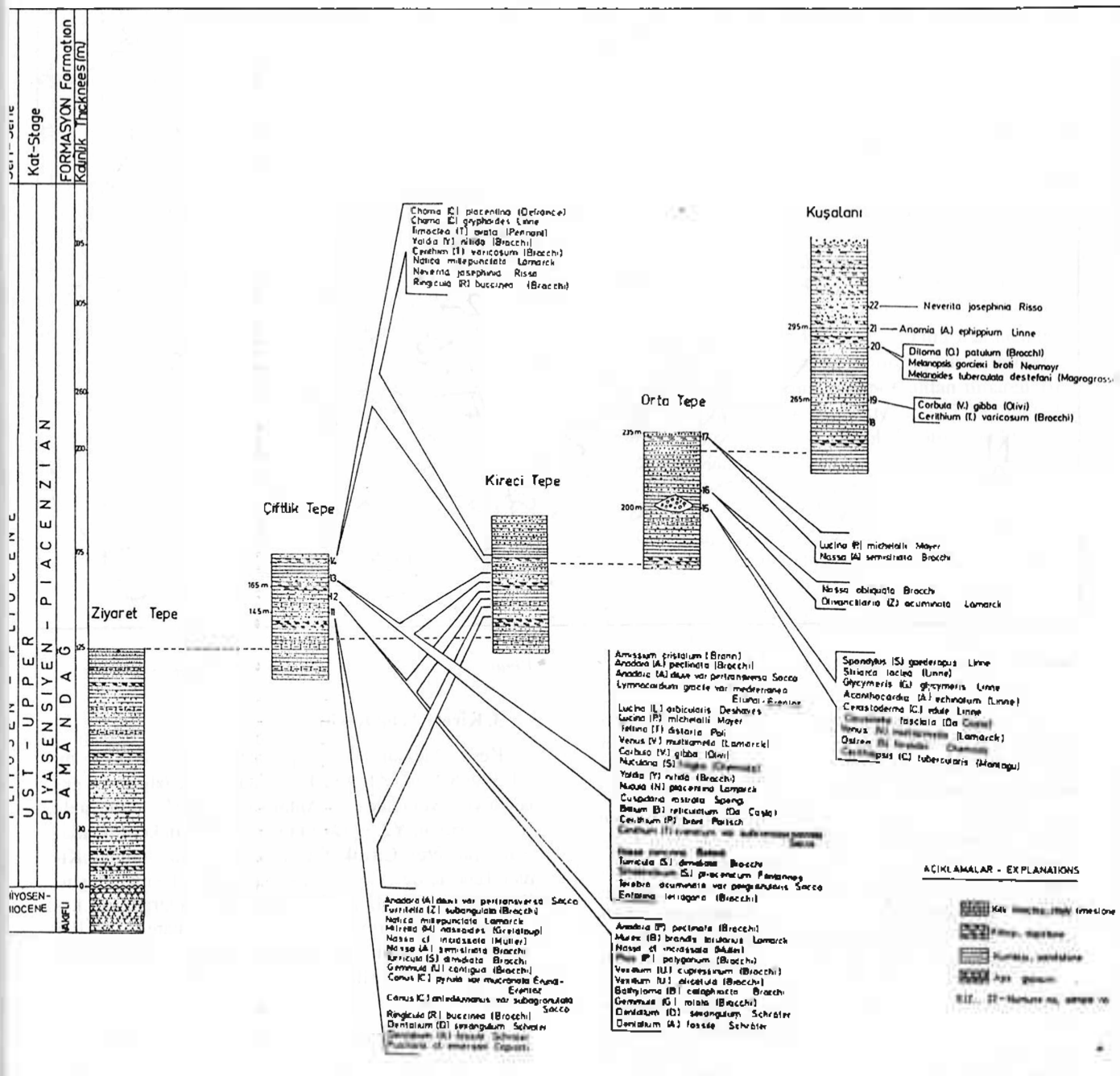
Kesit, Mersin P35-c3 paftasında X1: 769925 m, Y1: 4000850 m, Z1: 140 m koordinatlarıyla başlar ve güneydoğuya doğru X2: 770700 m, Y2: 4000900 m, Z2: 115 m koordinatlarıyla sona erer. Ziyaret Tepe kesitinin tabanı Ölçü Tepe güneyinde kumtaşları ile başlar (Şekil 3). Kesitin 0-30 metreleri arasında sarımsı kahverenginde, yer yer kirmızımsı, iyi boyanmış, gevşek çimentolu, belirgin tabakalanmalı kumtaşları yer alır. Bu kumtaşları arasında ince seviyeler halinde krem renkli kilitaşı tabakaları bulunur. Daha sonra 30-125 m kalınlıkta yeşil-boz renkli, gevşek çimentolu, çok yü-

varlıklı tanelerden oluşan ve yine killi kireçtaşları ve kilitaşı aratabakaları içeren bir kumtaşı seviyesi gelmektedir. Kilitaşlarının kalınlığı bazen 0.5 metreyi bulmaktadır. Bu kumtaşları K22D doğrultusunda ve 12 GD yönünde eğilimlidir. Kesiti oluşturan birimlerde hiç bir Molluska faunası saptanamamıştır.

2. Çiftlik Tepe Kesiti

Çiftlik Tepe Kesiti Mersin P35-c3 paftasında X1: 769750 m, Y1: 3999950 m, Z1: 56 m koordinatları ile başlamakta ve doğuya doğru X2: 769950 m, Y2: 3999950 m, Z2: 95 m koordinatlarıyla biter. En alta Ziyaret Tepe'nin üst seviyelerinde gözlenen yeşil boz renkli kumtaşları bulunmaktadır. Bu kumtaşları, Ziyaret Tepe'nin üst seviyelerinde de gözlenmektedir (Şekil 3). Bu kumtaşları üzerine yeşilimsi renkli, killi kireçtaşları ve yine boz renkli kumtaşı-kilitaşı ardalanması gelmektedir. Çiftlik Tepe kesitinin toplam kalınlığı 70 m olup, Samandağ formasyonunun alttan itibaren 105-175 metrelerine karşılık gelmektedir. 145-150 metreler arasından alınan 11 no'lu (Şekil 3) örnek noktasında; *Anadara (Anadara) diluvii Lamarck* var, *Pertransversa Sacco*, *Turritella (Zaria) subangulata* (Brocchi), *Natica nullepunctata* Lamarck, *Mitrella (Macrurella) nassoides* (Gretaloup), *Nassa cf. incrassata* (Müller), *N. (Amyclina) semistriata* Brocchi, *Turricula (Surcula) dimidiata* Brocchi, *Gemmula (Unedogemmula) contigua* (Brocchi), *Conus (Chelyconus) pyrula* var., *mucronata* Erunal-Erentöz, *C. (Conospirus) antediluvianus* var., *subagranulata* Sacco, *Ringicula (Ringiculina) buccinea* (Brocchi), *Dentalium (Dentalium) sexangulum* Schröter, *D. (Antalis) fossile* Schröter ve *Fusiaria cf. emersoni* Caprotti gibi Molluska faunası saptanmıştır. Daha üstte bulunan 150-155 metreler arasındaki kumtaşlarından alınan 12 no'lu (Şekil 3) örnek noktasında; *Anadara (A.) pectinata* (Brocchi), *Murex (Bolinus) brandis torularius* Lamarck, *Nassa cf. incrassata* (Müller), *Phos (Phos) polygonum* (Brocchi), *Vexillum (Uromitra) cupressinum* (Brocchi), *V. (U.) plicatula* (Brocchi), *Bathyomia (Bathyomia) cataphracta* Brocchi, *Gemmula (Gemmula) rotata* (Brocchi), *Dentalium (D.) sexangulum* Schröter ve *D. (A.) fossile* Schröter gibi örnekler tespit edilmiştir. Bu kumtaşları üzerinde 5 m kalınlığında krem renkli bir kilitaşı seviyesi yer alır. Bu kilitaşlarında Molluska faunası saptanamamıştır.

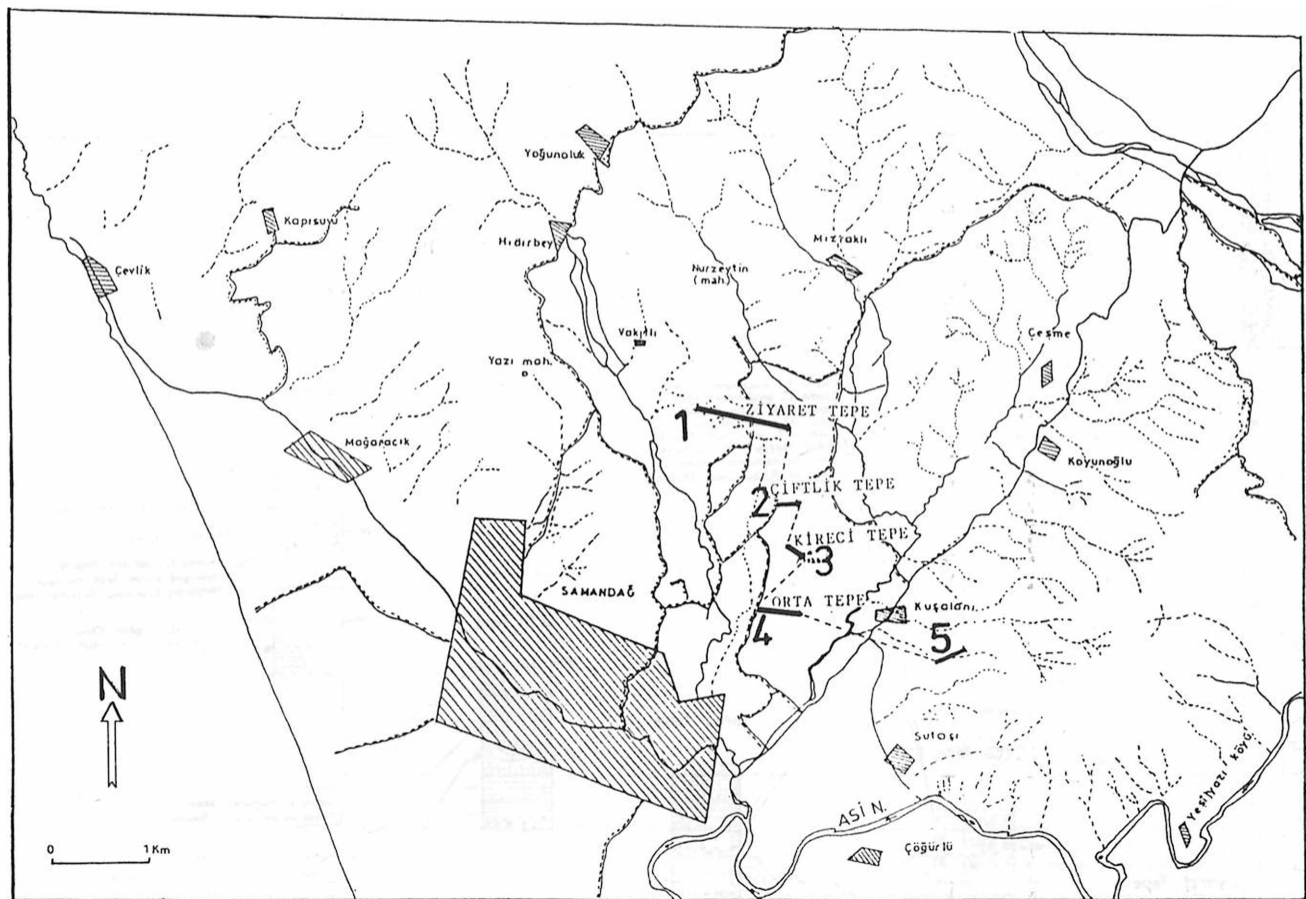
Fakat, kesitin 160-165 metrelerine karşılık gelen 13 no'lu örnek noktasındaki (Şekil 3) kumtaşları fosil bakımından çok zengin olup; *Amisium cristatum* (Bronn), *Anadara (A.) pectinata* (Brocchi), *A. (A.) diluvii* Lamarck var, *pertransversa* Sacco, *Lymnocardium gracile* var, *mediterranea* Erunal-Erentöz, *Lucina (Lucina) orbicularis* Deshayes, *L. (Phacoides) michelotti* Mayer, *Tellina (Tellinella) distorta* Poli, *Venus (Veneri-*



Şekil 3. Samandağ Formasyonuna ait ölçülen stratigrafi kesitleri.

Figure 3. Measured stratigraphic sections of the Samandağ formation.

SAMANDAĞ - FORMASYONU



Şekil 2. Ölçülü stratigrafi kesit yerlerini gösterir harita.

coloidea) multilamella (Lamarck), *Corbula (Varicorbus) gibba* (Olivi), *Nuculana (Sucella) fragilis* (Chemnitz), *Yoldia (Yoldia) nitida* (Brocchi), *Nucula (Nucula) placentina* Lamarck, *Cuspidaria rostrata* spengl., *Bittium (Bittium) reticulatum* (Da Costa), *Cerithium (Ptychocerithium) bronni* Partsch, *C. (Thericium) crenatum* var., *subcrenato-coronata* Sacco, *Nassa concinna* Bellardi, *Turricula (Surcula) dimidiata* Brocchi, *Strioterebrum (Strioterebrum) pliocenicum* Fontannes, *Terebra acuminata* Borsón var., *pergranularis* Sacco, *Entalina tetragona* (Brocchi) gibi fosiller saptanmıştır.

Çiftlik Tepe kesitinin en üst seviyelerinde bulunan 170-175 metreler arasındaki kilitaşlarından alınan 14 no'lu (Şekil 3) örnek noktasında; *Chama (Chama) placenta* (Desfrance), *C. (C.) gryphoides* Linne, *Timoclea (Timoclea) ovata* (Pennant), *Yoldia (Yoldia) nitida* (Brocchi), *Cerithium (T) varicosum* (Brocchi), *Natica millepunctata* Lamarck, *Neverita josephina* Risso, *Ringicula (Ringiculina) buccinea* (Brocchi) gibi pelesipod ve gastropod fosilleri saptanmıştır. Bu kilitaşları üzerinde bulunan çok ince bir kumtaşı seviyesiyle Çiftlik Tepe kesiti sona erer.

*Figure 2. Locations of the measured stratigraphic sections.

3. Kireci Tepe Kesiti

Kesit, Mersin P35-c3 paftasında X1: 770000 m, Y1:3999550 m, Z1:60m koordinatlarıyla başlar ve güneydoğu yönünde Antakya P36-d4 paftasında X2:770050 m, Y2:3999470 m ve Z2:128 m koordinatları ile sona erer. Çiftlik Tepe'nin güneyinde bulunan Kireci Tepe'de de çok bol Molluska faunası saptanmıştır. Kireci Tepe'den alıntı olduğumuz ölçülü stratigrafi kesiti Samandağ formasyonunun alttan itibaren 123-195 metrelerine karşılık gelmektedir (Şekil 3). Bu kesitte saptanan fauna Çiftlik Tepe'de saptadığımız fauna ile aynıdır.

Kireci Tepe kesitinin üst seviyelerinde, kesitin 175-180 metreleri arası (Şekil 3) yeşil-boz renkli, gevşek çimentolu, iyi boylanmış ve belirgin tabakalanma gösteren kumtaşları bulunmaktadır. Bu kumtaşları içerisinde Molluska faunası saptanamamıştır.

4. Orta Tepe Kesiti

Orta Tepe kesiti Mersin P 35-c3 paftasında X1:769675 m, Y1:3998875 m, Z1: 47 m koordinatları ile başlar ve güneydoğuya doğru X2:770000 m.

SAMANDAĞ - FORMASYONU

PLİOSEN - PLIOCENE	KAT - Stage	SERİ - Serie
ÜST - UPPER		
P. PIYASENSİYEN - PIACENZIAN		FORMASYON - Formation
S A M A N D A G		KALINLIK - Thickness (m)
S A M A N D A G	LİTOLOJİ - Lithology	FOSİLLER + FOSSILS
—	—	Ditoma (D) patulum (Brocchi)
—	—	Bilium (B) reticulatum (Da Costa)
—	—	Cerithium (P.) bruni Pötsch
—	—	Cerithium (T.) crenatum var. subangustata Sacco
—	—	Cerithium (T.) varicosum (Branner)
—	—	Centropora (C.) tuberculata Montagu
—	—	Melanopsis gorgensis Boiss Neumann
—	—	Melanoides tuberculata destefani (Magg)
—	—	Turritella (T.) subangustata Brocchi
—	—	Natica multipunctata Lamarck
—	—	Neverita josephinia Rissa
—	—	Murex (B) brandis torularius Lamarck
—	—	Murella (M) nassaoides (Gmelin)
—	—	Nassa concinna Bellardi
—	—	Nassa obliquata Brocchi
—	—	Nassa cf. incrassata (Müller)
—	—	Amyctina semistriata (Brocchi)
—	—	Phas (P.) polygonum (Brocchi)
—	—	Olivancularia (A) acuminata (Lamarck)
—	—	Vestillum (V.) cupressinum (Brocchi)
—	—	Vestillum (V.) plicatula (Brocchi)
—	—	Bathytroma (B.) capistrata (Brocchi)
—	—	Gemmula (G) rotata (Brocchi)
—	—	Gemmula (G) contigua (Brocchi)
—	—	Conus (C) pyrum var. mucronata Europa Prentz
—	—	Conus (C) antillarum var. subangustata (Sacco)
—	—	Strioterebrum (S) praetanicum Fontanieri
—	—	Terebra acuminata var. periglandularis
—	—	Rugicula (Rugicostula) buccata Brocchi
—	—	Dentalium (D) sanguineum Schröter
—	—	Dentalium (Antalis) fossile Schröter
—	—	Fusitaria cf. immersa Caprotti
—	—	Entalina tetragona (Brocchi)
—	—	Cuspidaria rostrata Sprengel
—	—	Nucula (N) placentina Lamarck
—	—	Striatura tecta (Linne)
—	—	Anadara (A) pectinata (Brocchi)
—	—	Anadara (A) diluvii var. pertransversa Sacco
—	—	Glycymeris (G) glycymeris Linne
—	—	Spondylus (S) gaederopus Linne
—	—	Amissum cristatum (Bronn)
—	—	Anomia cf. ephippium Linne
—	—	Ostrea (O) forskalli Chemnitz
—	—	Acanthocardia (A) echinatum (Linne)
—	—	Lymnaeocardium gracile var. mediterranea Euzen
—	—	Cerastoderma (C) edule Linne
—	—	Chama (C) placentina (Detrance)
—	—	Chama (C) gryphoides Linne
—	—	Lucina (L.) orbicularis Deshayes
—	—	Lucina (P.) michelotti Moyeri
—	—	Tellina (Tellinida) distorta Poli
—	—	Cloacina fasciata (Da Costa)
—	—	Venus (Venericardioidea) multiformis Lamarck
—	—	Timoclea (T.) ovata (Pennant)
—	—	Corbicula (Naticorbula) gibba Orsi

Çizelge 1. Samandağ formasyonuna ait fosillerin dikey yayılımı
Table 1. Vertical distribution of the fossils of Samandağ formation.

Y2:3998850 m ve Z2:100 m koordinatları ile biter. Bu kesitte ölçülen toplam kalınlık 72 m dir. Bu kalınlık Samandağ formasyonunun alttan itibaren 168-240 metrelerini oluşturur. En alta yeşil-boz renkli kumtaşı aratabakaları bulunan 5 m kalınlığında krem renkli kiltashaları ile başlar, bu kiltashaları Çiftlik Tepe'nin en üst seviyesindeki 14 no'lu örnek noktasına ve Kireci Tepe'nin en üst seviyelerindeki kiltashalarına karşılık gelmektedir (Şekil 3). Ancak burada diğer kesitlerdeki tüm fosiller olmamakla beraber; *Natica millepunctata* Lamarck, *Neverita josephinia* Riss ve *Ringicula (Ringiculina) buccinea* (Brocchi) örnekleriyle korele edilebilir.

Kiltashalar üzerinde yeşil-boz renkli olan ve yine Kireci Tepe'nin üst seviyelerine karşılık gelen kumtaşları yer alır. Bu kumtaşları üzerinde yaklaşık 5 m kalınlığında killi kireçtaşları bulunur. Orta Tepe'nin batısında kesitin 195-205 metreleri arasında bir çakıltaşı merceği yer almaktadır. Bu merceğin yanal devamı 30 metredir. Çakıltaşının çakılları bir kaç cm ve dm kadardır. Bu çakıltaşçı merceği üzerinde kahvemsi sarı renkte, ince-orta tabaklı, gevşek çimentolu kiltashaları bulunur. Bu kumtaşları içerisinde 15 no'lu örnek noktasında (Şekil 3) görüldüğü gibi; *Spondylus (S.) gaederopus* Linne, *Striarca lactea* (Linne), *Glycymeris (Glycymeris) glycynieris* Linne, *Acanthocardia (Acanthocardia) echinatum* (Linne), *Cerastoderma (Cerastoderma) edule* Linne, *Clausinella fasciata* (Da Costa), *Venus (Ventricoloidea) multilamella* (Lamarck), *Ostrea (Saccoostrea) forskalii* Chemnitz, *Cerithiopsis (Cerithiopsis) tuberculata* (Montagu) gibi gastropod ve pelesipod örnekleri saptanmıştır. Samandağ formasyonunun alttan itibaren 208-210 metrelerine karşılık gelen Orta Tepe'deki 16 no'lu örnek noktasında (Şekil 10) bulunan kumtaşları içerisinde; *Nassa obliquata* Brocchi, *Olivancillaria (Agaronia) acuminata* Lamarck saptanmıştır. Orta Tepe'nin en üstünde 230-235 metrelerinde 17 no'lu örnek noktasında (Şekil 3) bulunan kiltashalarında ise; *Lucina (Phacoides) michelotti* Mayer ve *Nassa (A.) semistriata* Brocchi örnekleri saptanmıştır. Orta Tepe'den alınan kesit bu seviye ile sona erer.

5. Kuşalanı Kesiti

Bu kesit, Antakya P 36-d4 paftasında X1:771200 m, Y1:3998375 m, Z1:60 m koordinatları ile başlar, kuzeydoğu yönünde X2:771525 m, Y2:3998500 m ve Z2:165 m koordinatları ile sona erer. Kuşalanı kesiti, Kuşalanı Köyü doğusunda alita sarımı kahve renkli, gevşek çimentolu, dağılgan kumtaşları ile başlamaktadır. Burada ölçülen toplam kalınlık 120 m dir. Bu seviye Samandağ formasyonunun alttan itibaren 215-335 metrelerine karşılık gelmektedir.

Samandağ formasyonunun alttan 260-265 metrelerine karşılık gelen 19 no'lu (Şekil 3) örnek noktasında; *Corbula (Varicorbula) gibba* (Olivii), *Cerithium (T.) varicosum* (Brocchi) gibi örnekler saptanırken, daha üst seviyelerinde 20 no'lu örnek noktasında; *Diloma (Oxystele) patulum* (Brocchi), *Melanopsis gordoni broti* Neumayr ve *Melanoides tuberculata destefani* (Maggrassi) gibi gastropod türleri saptanmıştır (Şekil 3). 21 no'lu örnek noktasında yer alan ve Samandağ formasyonun alttan 290-295 metrelerine karşılık gelen kumtaşlarında; *Anomia (Anomia) ephippium* Linne tespit edilmiştir. Samandağ formasyonunun belirlenen en üst fosilli düzeyi olan ve alttan itibaren 300-305 metrelerine karşılık gelen 22 no'lu örnek noktasındaki kiltashalarında; *Neverita josephinia* Riss bulunur. Kesit burada sarımsı-kahvemsi renkli kumtaşları ile ardalamalı olarak yer alan çok ince yeşilimsi krem renkli kiltası tabakaları ile son bulur.

Jeolojik Yaşı

Samandağ formasyonu çok bol Molluska faunası içermekte ve faunanın çoğunluğu Neojen sistemi içerisinde yayılmış göstermektedir. Bazı örneklerin ise sadece Pliyosen'de yaşadığı bilinmemektedir (Çizelge 2 ve3). Ancak; *Cerithium (T.) varicosum* Brocchi, *Nassa (Amyclina) semiannulata* (Brocchi), *Gemmula (Gemmula) rotata* (Brocchi), *Conus (Conspirus) antediuvinus* var. *subagranulata* Sacco, *Fustiaria* cf. *emersoni* Caprotti, *Entalina tetragona* (Brocchi), *Yoldia (Yoldia) nitida* (Brocchi), *Striarca lactea* (Linne), *Glycymeris (G.) glycynieris* Linne, *Spondylus (S.) gaederopus* Linne, *Ostrea forskalii* Chemnitz, *Melanopsis gordoni broti* Neumayr, *Melanoides tuberculata destefani* (Maggrassi), *Cuspidaria rostrata* Spengel gibi fosiller Portekiz, Güney Fransa, İtalya, Ege Adaları, Kıbrıs, Kuzey Afrika'da Fas ve Mısır gibi ülkelerde Üst Pliyosen'i karakterize eden tiplerdir. Bu fosiller Samandağ formasyonunda da çok bol ve iyi korunmuş olarak saptanmış durumdadır. Bu faunaya dayanarak formasyonun Piyasensiyan yaşında olması gerekmektedir.

PALEOEKOLOJİK YORUM

Samandağ formasyonunun ortamsal yorumunda Remane'nin tuzluluk sınıflaması (Papp 1959'dan) kullanılmıştır.

Samandağ formasyonunda saptanan Molluska faunasının tamamı Tetis bölgesine özgü cins ve türler olup (Çizelge 2), Samandağ formasyonunun Tetis provensine bağlı olarak gelişğini göstermektedir. Ayrıca Samandağ formasyonunda bulunan *Acanthocardia (Acanthocardia) echinatum* Linne Miyosen'de Atlantik Okyanusunda, Pliyosen'de ise Tetis'de görülmektedir.

SAMANDAĞ - FORMASYONU

TETIS - TETHYS				FOSİLLER - FOSSILS
MIYOSEN-MIOCENE		PLIYosen - PLIOCENE		
ALT - Lower	ORTA Middle	ÜST - Upper	ALT - Lower	ÜST - Upper
			Drama (I) polium (Brocchi)	
			Bithium (I) reticulatum (Da Costa)	
			Cerithium (Pl) bruni Fortsch	
			Cerithium (I) excentrum var subangustum	
			Cerithium (I) variegatum (Bronni)	
			Cerithopis (I) tuberculata Moreau	
			Melanopsis guernei Brocchi	
			Melanoides tuberculata destefani (Magograssi)	
			Turritella (I) subangusta Brocchi	
+	+	+	Natica (I) punctatula Lamarck	
+	+	+	Neverita josephinia Riss	
+	.	+	Murex (I) brandti loriarius Lamarck	
+	+	+	Murex (I) nassoides (Gmelin)	
.	.	.	Nassa (I) concinna Bellardi	
.	.	+	Nassa obliquata Brocchi	
.	.	+	Nassa cf. incisa (Muller)	
.	.	+	Amyclina semistriata (Brocchi)	
+	.	+	Phos (P.) polygonum (Brocchi)	
.	.	+	Olivancularia (I) acuminata Lamarck	
+	+	+	Volutum (I) egyptiacum (Brocchi)	
.	+	+	Volutum (I) plicatum (Brocchi)	
+	+	+	Bathyoma (B) capricornis (Brocchi)	
+	+	+	Gemmula (I) rotata (Brocchi)	
+	+	+	Gemmula (I) contigua (Brocchi)	
			Conus (C) pyramis var. macromarginatus (Eich.-Fenzl)	
			Conus (C) concolor var. subangustum (Sacco)	
+	-	+	Strioterebrum (S) pliocenum Fontanieri	
+	+	+	Terebra ocellinaria var. peregrinans	
+	+	+	Reticula (R) reticulata (Lamarck)	
			Centarium (I) triangulum Schröter	
			Dentalium (Anatol.) fossile Schröter	
.			Fusitaria cf. amissa Gmelin	
+	+	+	Estateina (E) tetragona (Brocchi)	
+	+	+	Cuspidaria rosaria Spreng	
+	+	+	Nucula (N) fragilis (Chemnitz)	
+	+	+	Yoldia (Y.) nitida (Brocchi)	
+	+	+	Nucula (N) pacifica Lamarck	
+	+	+	Striata tecta (Linne)	
+	+	+	Anadara (A) pectinata (Brocchi)	
+	+	+	Anadara (A) davidi var. pertransversa Sacco	
+	+	+	Ocydromia (O) gryphus Linne	
+	+	+	Spondylus (S) gaederopus Linne	
+	+	+	Amisium cestatum (Bronni)	
+	+	+	Anomia cf. ephippium Linne	
+	+	+	Ostrea (S) forskalii Chemnitz	
.		.	Acanthocardia (A) echinatum (Linne)	
.			Lymnaeocardium glaucum var. mediterraneum (Fischer-Feldm.)	
+	+	+	Cerastoderma (C) edule Linne	
+	+	+	Choma (C) pacentina (Delrance)	
+	+	+	Choma (C) gryphoides Linne	
+	+	+	Lucina (L) orbicularis Deshayes	
+	+	+	Lucina (P) micropora (Mayer)	
+	+	+	Tellina (T) lementaria distorta Pels	
+	+	+	Clausinella fasciata (Da Costa)	
+	+	+	Venerupis (V) carinifera Lamarck	
+	+	+	Ulmacta (U) orata (Pennant)	
+	+	+	Corbicula fluminea gibba Oliv.	

Çizelge 2. Samandağ formasyonundan derlenen fosillerin Tetis provensi içerisindeki kronostratigrafik yayılımları.

Table 2. Chronostratigraphic distributions of the fossils of Samandağ Formation in Tethyan region.

Samandağ formasyonunun en alt fosilli düzeyi olan ve boz renkli kumtaşları içerisinde bulunan; *Conus (Conospirus) antediluvianus* Lamarck var, *subagranulata* Sacco, *Natica millepunctata* Lamarck, *Genimula (Unedogemnum) contigua* (Brocchi), *Nassa (Amyclina) semistriata* Brocchi, *Strioterebrum (S.) pliocenium* Fontanieri, *Phos (P.) polygonum* (Brocchi), *Cerastoderma (C.) edule* Linne, *Anadara (A.) pectinata* (Brocchi), *Venus (Ventricoloidea) multilamella* Lamarck, *Clausinella fasciata* (Da Costa), *Tellina (Tellinella) distorta* Poli gibi cins ve türler ortamın litoral zon ve deniz suyu derinliğinin 0-150 m arasında olduğunu göstermektedir (Venzo 1943; Malatesta 1974; Gonzales Delgado 1989).

145-160. metreler arasında bulunan *Anadara (A.) diluvii* Lamarck var, *pertransversa* Sacco normal deniz suyu tuzluluğundaki (tuzluluk >%30) sularda, 160-165. metreler arasında saptadığımız *Nuculana (Saccula) fragilis* Chemnitz %28 tuzluluktaki sularda yaşayan bir formdur (Malatesta 1974). Bu iki örneğin varlığı ortamda su tuzluluğunun 160 metreden itibaren azalarak, normal deniz suyu özelliğinden acestü özelliğindeki deniz suyuna (tuzluluk=%16.5-30) dönüşüğünü göstermektedir.

Melanoides tuberculata destefani (Magrograssi) yanında *Turritella (Surcula) dimidiata* Brocchi, *Genimula (Unedogemnum) contigua* (Brocchi), *Spondylus (Spondylus) guaderopus* Linne, *Neverita josephinia* Riss gibi örneklerin varlığı Geç Pliyosen'de subtropikal iklim şartlarının etkili olduğunu göstermektedir.

Venzo (1943) yaptığı çalışmada, Samandağ formasyonun 190-195. metrelerinde bulunan *Cerastoderma (Cerastoderma) edule* Linne'nin Tetis'de litoral zonda ve 0-30 m derinlikte yaşadığı belirtmektedir. Bu örneğin varlığı su derinliğinin giderek azalmakta olduğunu ve ortamın sağlığına işaret etmektedir. Çökelme ortamındaki sağlığın Piyasensiye'nin üst seviyelerinde de devam ettiği 295. metrede bulunan *Ostrea (Succostrea) forskalii* Chemnitz'in varlığından anlaşılmaktadır. Keza aynı seviyede bulunan *Melanopsis gordoni* broti Neumayr ve *Melanoides tuberculata destefani* (Magrograssi) gibi akarsu formlarının görülmesi havzamın yükselsek son şeklini almaya başladığını ve tuzluluğun etkisini yitirerek oligohalin acestü özelliğine (tuzluluk=%0.5-3) kavuştugunu belirtmektedir.

Samandağ formasyonunda saptanan fosiller incelenliğinde iki farklı fauna içeriği görülmektedir. Formasyonun ilk fosilli seviyesinden (145. m) itibaren görülen Naticidae, Turridae, Turritellidae, Pectinidae, Ostreidae ve Dentaliidae gibi familyalara ait cinslerin çok sayıda bulunması, bölgenin Tetis provensi içerisinde ve denizel özellikte olduğu, formasyonun üst seviyelerinde gö-

<i>Dolma</i> [D] <i>peltatum</i> [Brocchii]	-	-	PORTEKİZ
<i>Elidium</i> [B] <i>relicuum</i> [De Coster]	-	-	İSPANYA
<i>Cerithium</i> [P] <i>bromo</i> Röhrich	-	-	DANIMARKA
<i>Cerithium</i> [T] <i>rectulum</i> von Siebold & Gmelin	-	O	HOLLANDA
<i>Cerithium</i> [T] <i>volutosum</i> [Bronni]	-	O	BELÇİKA
<i>Cerithopis</i> [C] <i>tuberculatus</i> Montagu	-	O	FAS
<i>Mesopora</i> <i>gigantea</i> Brocchi Neumayr	-	O	FRANSА
<i>Metanodus</i> <i>luzonicus</i> deshayesii (Meng)	-	O	AKITAN HAVZASI
<i>Turritella</i> [T] <i>sublongula</i> Brocchii	AÜ	AÜ	RHON HAVZASI
<i>Natica</i> <i>multicostata</i> Lamark	-	O	VİYANA HAVZASI
<i>Nucula</i> <i>josephina</i> Russa	AÜ	R AÜ AÜ AÜ	İTALYA
<i>Nucula</i> <i>bimaculata</i> Lovénus Lamark	T	T	PIEMONTE HAVZ.
<i>Murex</i> [M] <i>nassicodes</i> (Gmelini) upl	T Z A A A P	T O	LIGURA HAVZASI
<i>Nassa</i> <i>concinna</i> Bellard	-	T	SİCİLYA
<i>Nassa</i> <i>obliquata</i> Brocchii	-	T	SARDUNYA
<i>Nassa</i> cf. <i>neozonaria</i> Müller	-	Z	MALTA
<i>Ampullaria</i> <i>semistriata</i> (Brocchii)	T U	A	ALMANYA
<i>Pos</i> [P] <i>polygynum</i> [Brocchii]	-	A	DOĞU PRENELER
<i>Obione</i> [A] <i>acuminata</i> Lamark	-	Z	TRANSİLVANYA
<i>Vestulum</i> [L] <i>cypriatum</i> [Brocchii]	-	Z	POLONYA
<i>Bulimina</i> [B] <i>complanata</i> [Brocchii]	T	A P A D P A	MACARİSTAN
<i>Gemmula</i> [E] <i>rotata</i> [Brocchii]	-	A	ÇEKOSLAVAKYA
<i>Gemmula</i> [L] <i>coniformis</i> [Brocchii]	T Z	Z	ROMANYA
<i>Cocca</i> [L] <i>perforata</i> Frémin	-	T	BULGARIstan
<i>Cocca</i> [L] <i>canaliculata</i> var. <i>sibogae</i>	-	Z	YUNANİSTAN
<i>Siphonaria</i> [S] <i>platycerium</i> Förster	-	Z	KUZEY AFRIKA
<i>Ventura</i> <i>occidentalis</i> var. <i>periglobulus</i>	-	Z	CEZAYİR
<i>Sorites</i>	O	O	SURIYE
	O	O	LÜBNAN
	O	O	MISİR
	O	O	TUNUS
	O	O	EDE ADALARI
	O	O	KİBRİS
	O	O	RODOS
	O	O	DADÇA
	O	O	KARAMAN
	O	O	ADANA
	O	O	ANTAKYA

Çizelge 3a. Samandağ formasyonunda saptanan örneklerin paleocoğrafik ve stratigrafik yayılımı.

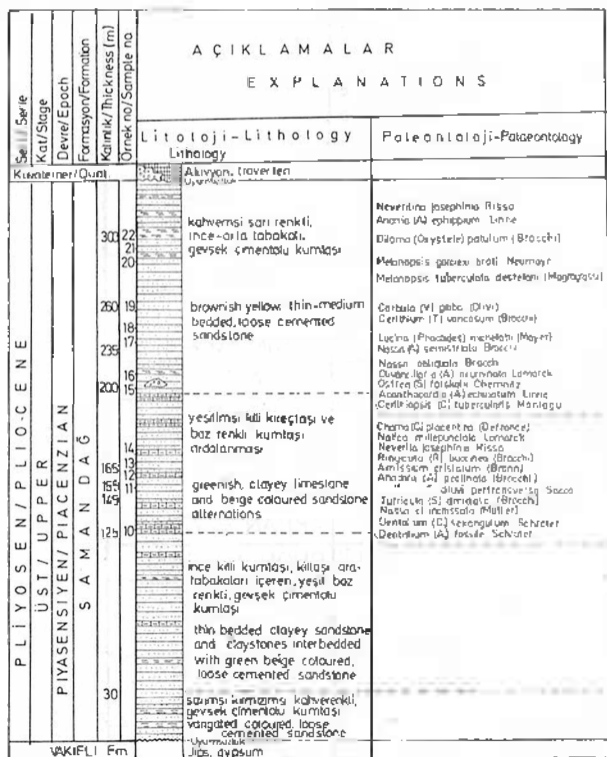
Table 3a. Paleogeographic and stratigraphic distribution of the fossils of Samandağ formation.

SAMANDAĞ - FORMASYONU

<i>Rogovia Rognanoides</i>	Brocki	O-T-A-U-A-U-I-O-R-O-P-O-R-O-R-	PORTEKİZ
<i>Dentalium (D) exangulum</i>	Schroeter	-P-I-A-U-I-T-R-I-P-I-A-T-P-I-P-I-	İSPANYA
<i>Dentalium (D)</i> fossil Schröter	Schröter	-I-A-U-I-P-I-A-U-I-T-R-I-P-I-A-T-P-I-P-I-	DANIMARKA
<i>Fusulina d. sensu</i>	Cappelli	-I-A-U-I-P-I-A-U-I-T-R-I-P-I-A-T-P-I-P-I-	HOLLANDA
<i>Endrina (E) rogeno</i>	[Brocki]	-I-A-U-I-P-I-A-U-I-T-R-I-P-I-A-T-P-I-P-I-	BELÇİKA
<i>Cuspidaria rostrata</i>	Spengel	-I-A-U-I-P-I-A-U-I-T-R-I-P-I-A-T-P-I-P-I-	FAS
<i>Nucula (S) fragilis</i>	[Chenoni]	O-T-R-I-P-I-A-U-I-P-I-A-U-I-T-R-I-P-I-A-T-P-I-P-I-	FRANSA
<i>Yoldia (Y) nitida</i>	[Brocki]	-I-A-U-I-P-I-A-U-I-T-R-I-P-I-A-T-P-I-P-I-	AKİTAN HAVZASI
<i>Nucula (N) pectinifera</i>	Laméch	-P-I-A-U-I-P-I-A-U-I-T-R-I-P-I-A-T-P-I-P-I-	RHON HAVZASI
<i>Spirula latirostris</i>	[Linne]	P-I-A-U-I-P-I-A-U-I-T-R-I-P-I-A-T-P-I-P-I-	VİYANA HAVZASI
<i>Anadara (A) pectinifera</i>	[Brocki]	P-I-A-U-I-P-I-A-U-I-T-R-I-P-I-A-T-P-I-P-I-	İTALYA
<i>Atrypa</i>	[Atrypa] sp. <i>peritanensis</i>	-I-A-U-I-P-I-A-U-I-T-R-I-P-I-A-T-P-I-P-I-	PIEMONTE HAVZ.
<i>Glycimeris (G) glycimeris</i>	[Linne]	P-I-A-U-I-P-I-A-U-I-T-R-I-P-I-A-T-P-I-P-I-	LIGURA HAVZASI
<i>Specularius (S) gasteropodus</i>	[Linne]	P-I-A-U-I-P-I-A-U-I-T-R-I-P-I-A-T-P-I-P-I-	SİCİLYA
<i>Amissum crassatum</i>	[Bronn]	A-O-P-I-A-U-I-P-I-A-U-I-T-R-I-P-I-A-T-P-I-P-I-	SARDUNYA
<i>Atrypa</i> cf. <i>epiphylum</i>	[Linne]	O-P-I-A-U-I-P-I-A-U-I-T-R-I-P-I-A-T-P-I-P-I-	MALTA
<i>Ostrea (O) fornicata</i>	Chenu	T-P-I-A-U-I-P-I-A-U-I-T-R-I-P-I-A-T-P-I-P-I-	ALMANYA
<i>Actinobioconcha (A) echinulum</i>	[Linne]	O-P-I-A-U-I-P-I-A-U-I-T-R-I-P-I-A-T-P-I-P-I-	DOĞU PRENELER
<i>Symnocardium glaucum</i> var. <i>mediterranea</i>	Espin-Elençz	-I-A-U-I-P-I-A-U-I-T-R-I-P-I-A-T-P-I-P-I-	TRANSİLVANYA
<i>Ceratosturidea (C) edule</i>	[Linne]	-I-A-U-I-P-I-A-U-I-T-R-I-P-I-A-T-P-I-P-I-	POLONYA
<i>Chama (C) planorbina</i>	[D'Orbigny]	-I-A-U-I-P-I-A-U-I-T-R-I-P-I-A-T-P-I-P-I-	MACARİSTAN
<i>Lucina (L) orbicularis</i>	[Deshayes]	-I-A-U-I-P-I-A-U-I-T-R-I-P-I-A-T-P-I-P-I-	ÇEKOSLAVAKYA
<i>Lucina (L) orbicularis</i>	[Meyer]	-I-A-U-I-P-I-A-U-I-T-R-I-P-I-A-T-P-I-P-I-	ROMANYA
<i>Tellina (Tellina) distorta</i>	Poli	-I-A-U-I-P-I-A-U-I-T-R-I-P-I-A-T-P-I-P-I-	BULGARIŞTAN
<i>Clausiella fasciata</i>	[G. Cossi]	-I-A-U-I-P-I-A-U-I-T-R-I-P-I-A-T-P-I-P-I-	YUNANİSTAN
<i>Veras (Verasimilis) matutina</i>	Laméch	-I-A-U-I-P-I-A-U-I-T-R-I-P-I-A-T-P-I-P-I-	KUZEY AFRIKA
<i>Timoclea (T) ovata</i>	[Pennant]	C-U-I-C-U-I-O-U-P-O-U-P-I-A-U-I-T-R-I-P-I-P-I-	CEZAYİR
<i>Corbicula (Corbicula) gibba</i>	Quivi	-I-A-U-I-P-I-A-U-I-T-R-I-P-I-A-T-P-I-P-I-	SURİYE
		-I-A-U-I-P-I-A-U-I-T-R-I-P-I-A-T-P-I-P-I-	LÜBNAN
		-I-A-U-I-P-I-A-U-I-T-R-I-P-I-A-T-P-I-P-I-	MISIR
		-I-A-U-I-P-I-A-U-I-T-R-I-P-I-A-T-P-I-P-I-	TUNUS
		-I-A-U-I-P-I-A-U-I-T-R-I-P-I-A-T-P-I-P-I-	EGE ADALARI
		-I-A-U-I-P-I-A-U-I-T-R-I-P-I-A-T-P-I-P-I-	KİBRİS
		-I-A-U-I-P-I-A-U-I-T-R-I-P-I-A-T-P-I-P-I-	RODOS
		-I-A-U-I-P-I-A-U-I-T-R-I-P-I-A-T-P-I-P-I-	DADÇA
		-I-A-U-I-P-I-A-U-I-T-R-I-P-I-A-T-P-I-P-I-	KARAMAN
		-I-A-U-I-P-I-A-U-I-T-R-I-P-I-A-T-P-I-P-I-	ADANA
		-I-A-U-I-P-I-A-U-I-T-R-I-P-I-A-T-P-I-P-I-	ANTAKYA

Çizelge 3b. Samandağ formasyonunda saptanan örneklerin paleocoğrafik ve stratigrafik yayılımı.

Table 3b. Paleogeographic and stratigraphic distribution of the fossils of Samandağ formation.



Şekil 4. Samandağ Formasyonuna ait genelleştirilmiş dikme kesit.

Figure 4. Generalized columnar section of the Samandağ formation.

rulen Melanidae familyasına ait cinslerin varlığı ise üst seviyelerde denizel özelliklerin kaybolduguına işaret etmektedir.

SONUÇLAR

Antakya Havzası'nda geniş yüzleklер sunan Samandağ formasyonunda, Molluska faunası üzerinde yapılan paleontolojik çalışmalarla göre aşağıdaki sonuçlar çıktırılmıştır:

1. Samandağ formasyonunda 5 adet ölçülu stratigrafi kesiti alınmış, bu kesitlerden derlenen numunelelerden molluska dağına bağlı; Gastropoda sınıfına ait 22 cins ve 29 tür, Scaphopoda sınıfına ait 3 cins ve 4 tür ve Bivalvia sınıfına ait 21 cins ve 24 tür tespit edilmiştir.

2. Saptanan faunanın paleoecografik yayılımları incelenliğinde, Tetis bölgesine bağlı olarak geliştiği belirlenmiştir.

3. Samandağ formasyonunun alt seviyelerinde denizel, üst seviyelerinde ise akarsu formları saptanmıştır. Bu formlara göre ortamda bulunan suyun, formasyonun alt seviyelerinden üst seviyelerine doğru çıkışlıca normal deniz suyu karakterinden oligohalzin açısından karakterine dönüsüğү belirlenmiştir.

4. Molluska faunası dikkate alınarak bölgede Piyasensiyen döneminde subtropikal iklim şartlarının etkili olduğu tespit edilmiştir.

KATKI BELİRTME

Bu çalışma A.Ü. Araştırma Fonu'nun maddi desteği ile (90-25-00-38 no'lu proje) gerçekleştirılmıştır. Yazalar arazi çalışmalarında Rezzan Büyükuğurlu'ya, örnek fotoğraflarının çekiminde Dr. Ortwin Schultz (Vienna Doğa Tarihi Müzesi)'a ve çizimlerde Gürsel Karakuş'a yardımlarından dolayı ayrı ayrı teşekkür ederler.

DEĞİNİLEN BELGELER

Aktürk,A., 1975, Yayladağı (Hatay) bölgesi fosfat yataklarının detay etüt raporu: MTA Enst.Rap.No: 5635, (Yayınlanmamış), Ankara.

Altınlı,E. İ.,1978, Amanos Dağları ve Anadolu'nun levha tektoniği ile ilişkileri: Türkiye 4. Petrol Kongresi, Bildiriler ve Açıklıkler, 51-62, Ankara.

Aslaner, M., 1973, İskenderun ve Kırıkhan bölgelerindeki ofiolitlerin jeolojisi ve petrografisi: MTA Yayın No:150, Ankara.

Atan, O. R., 1969, Eğribucak - Karacaören (Hassa)-Ceylanlı-Dazevleri (Kırıkhan) arasındaki Amanos Dağları'nın jeolojisi: MTA yayın No: 139, Ankara.

Bellardi,L., 1882 - 1888, I Molluschi de terreni Terziarii del Piemonte e della Ligura; C:I-II, Gasteropoda, C:V, Mitridae.

Bellardi,L. ve Sacco, F., 1890, I Molluschi dei terreni Terziarii del Piemonte e della Ligura C:VI, Torino.

Böger,H. ve Willmann, R., 1979, Verbreitung einiger limnischer Gastropoden im Miozan des Agais Raumes, Ann. Geol.Pays Hellén, Hors seri, Fasicule: I, 163-166, Atina.

Brocchi, G., 1814, Conchiologia fossile Subapennina: 241-712, 1843, Milano.

Caprotti, E., 1972, Mesogastropoda della Stratotipo Piacenziano (Castell'Aquato, Piacenza): Natura-Riv. Sc.Nat., LXI, II, 121-187, Milano.

Caprotti, E. ve Vescovi, M., 1973, Neogastropoda ed Euthyneura della Stratotipo Psacenziano (Castell'Arquato, Piacenza): Natura-Riv. Sc. Nat. Acquario Civ. 64, II, 156-193, Milano.

Cerulli-Irelli, 1907 - 1908, Fauna Malacologica mariana: Palaeont.Italica, XIII, XI, Italya.

Çoğulu, H.E., 1973, Hatay-Kızıldağ Masifinin oluşumu hakkında yeni buluşlar: Cumhuriyetin 50. Yılı Yerbi'lümüleri Kongresi, 409-421, Ankara.

SAMANDAĞ - FORMASYONU

- Deshayes, G.P. ve Ph. Dautzenberg, 1902-1920. Conchyliologie du Miocene moyen du bassin de la Loire: Mem.Soc.Geo.France., Palaeont., X, 2.3;XI, 3.4; XIV, 1; XVI, 2; XXII, 2.3 ve 4.
- Dollfus, G.F. ve Cotter, 1909. Mollusques Tertiaires du Portugal (Plaisancien), I-Pelecypoda, Comm.Serv. Geol.Portugal, Lisbon.
- Doruk, N., 1973, Adana ve Antakya Havzaları Neojen ve Kuvatlı Ostracod mikrofaunası ve biyostratigrafisi: Cumhuriyetin 50. Yılı Yerbilimleri Kongresi, Tebliğler, 143-150, Ankara.
- Erünl-Erönöz, L., 1956, Stratigraphie des Bassins néogènes de Turquie, plus spécialement d'Anatolie méridionale et comparaisons avec le Domaine Méditerranéen dans son ensemble, MTA Yayımları Seri: c. No:3, Ankara.
- Erünl-Erenöz, L., 1958, Mollusques du Néogène des Bassins de Karaman, Adana et Hatay (Turquie): Doktora Tezi, 232s., 36 levha, Ankara.
- Fontaines, F., 1879 - 82, Mollusques Pliocenes de la Vallée du Rhône et du Roussillon, I-Gasteropodes, Des Formations marines et Saumâtres: 276 s., II-Acéphales, Des Formations Marines et Saumâtres: 291p., Paris.
- Gignoux, M., 1913, Les Formations marines Pliocenes et Quaternaires de l'Italie du Sud et de la Sicile: (These), Lyon.
- Glibert, M., 1945, Faune Malacologique du Miocene de la Belgique, I-Pelecypodes: Mem.Mus.r.Hist.nat., Belgique, No:103, 263p., 12, Brüksel.
- Glibert, M., 1952, Faune Malacologique du Miocene de la Belgique, II-Gastropodes: Mem.Mus.Hist.nat. Belgique, 197p., 10 Lev., Brüksel.
- Gonzales Delgado, J.A., 1986, Estudio sistemático de las Gasteropodes del Plioceno de Huelva (SW de España), II-Mesogastropoda (Rissocea, Cerithiacea): Stud.Geo.Salmant., XXIII, 61-120, Salamanca.
- Hörnes, M., 1851, Die Fossilen Mollusken des Tertiär-Beckens von Wien: Herausgegeben d.k.-k.Geol.Reichsanstalt, No:1, Conus, 736p., Wien.
- Hörnes,M., 1956, Die Fossilen Mollusken de Tertiär-Beckens von Wien: Atlas, 52 Table.
- Karacabey-Öztekinur, N. ve Selçuk, H., 1980 - 81, Hatay bölgelerinden derlenen Rudistlere ait bir yeni cins ve 2 yeni tür: MTA Derg. 95/96, 40-149, Ankara.
- Lamarek, 1914, Catalogue illustré de la collection Lamarek: Museum de Geneve.
- Malatesta, A., 1960-63, Malacofauna Pliocenica Umbra: Mem. Serv. Desc.Carta Geol.Italia, XII, 1-2, Rome.
- Malatesta, A., 1974, Malacofauna Pliocenica Umbra, Mem. Serv. Desc. Carta Geol. Italia, XIII, 498p., XXXII PL., Rome.
- Moore, R. C., 1960, Treatise on Invertebrate Paleontology: Part-I Mollusca 1, 351p.
- Moore, R. C., 1969, Treatise on invertebrate Paleontology,Part-N, 1,2,3, Mollusca 6 Bivalvia.
- Neumayr, 1880, Über den geologischen Bau der Insel-Kos: Denkschr.Kais.Ak.wiss., 40, 213-314, wien.
- Papp, A. ve Thenius, E., 1959, Tertiär, Grundzüge regionaler Stratigraphie: I-II, Stuttgart.
- Pelosio, G., 1966, La malacofauna della stratotipo del Tabianiano (Pliocene inferiore) di Tabiano Bagni (Parma):Boll.Soc. Palcont.Ital., 5, 2, 101-183, Pl.35-47.
- Regional committee on Mediterranean Neogene Stratigraphy Report on Activity of the R.C.M.N.S. working Groups (1971-1975), Bratislava.
- Rögl, F. ve Steininger, F., 1983, Vom Zerfall der Tethys zur Mittelmeer und Paratethys, 143-163, 14 Pl., wien.
- Sacco, V.D.F., 1884-1901, I Molluschi dei Terreni Terziari del Piemonte e della Liguria: IV, VI, XIX, XX, XXVIII, XXIX, XXV, Torino.
- Selçuk, H. ve dig., 1985, Kızıldağ-Keldağ-Hatay dolayının jeolojisi ve jeodinamik evrimi: MTA Rap.No:7787, (Yayınlanmamış), Ankara.
- Sieber, R., 1937, Die Miozänen Potamididae, Cerithiidae, Cerithiopsidae und Triporidae Niederösterreichs, Festchrift für Prof.Dr.Embrick Strand: II,473-520.
- Stchepinsky, V., 1946, Türkiye karakteristik fosilleri: MTA Yayın No:1, Ankara.
- Taner, G., 1981, Gelibolu yarımadasının denizel Kuvatlı Ostracod Molluskaları, Jeomorfoloji Dergisi, 10, 71-115, Ankara.
- Tekeli, O. ve Erendil, M., 1986, Kızıldağ ofiyolitinin (Hatay) jeoloji ve petrolojisi: M.T.A. Dergisi 107, 33-48, Ankara.
- Toker, V. ve Yıldız, A., 1991, Hatay yöresi Nannoplankton biyostratigrafisi, Ahmet Acar Jeoloji Sempozumu, 199-211, Adana.

- Venzo, S. ve Guaitani, F. 1943. Nuovo giacimento del Pliocene superiore a Torre dei Roveri, nelle Prealpi Bergamasche: Riv. Italiana Paleont.
- Wenz, W., 1929. Fossilium Catalogus, I-Animalia, Gastropoda, extramarina Tertiaire. Berlin.
- Wenz, W., 1938-44. Handbuch der Palaeozoologie, 6, Gastropoda; Böhlau: I, Berlin.
- Wenz, W. ve Zilch, A., 1959-60. Handbuch der Palaeozoologie, 6, Gastropoda, II-Euthyneura, 834.
- Willmann, R., 1977. Biostratigraphie mit klimatischen Mollusken am Beispiel des Neogens von Kos (Griechenland); Meyniana, 29, 71-79, Kiel.
- Willmann, R., 1978. Die Formenreichen der pliozänen Süßwassergastropoden von Kos (Agais) und ihre Erforschungsgeschichte: Natur, u. Museum, 103, 230-237, Frankfurt.
- Willmann, R., 1980. Die Alterstellung kontinentaler Neogenablagerungen in der südöstlichen Agais (Rhodos und Kos/Dodekanes, Dadça/Südwestanatolian); Newsl. Strat., 9, 1-18, Stuttgart.
- Willmann, R., 1981. Evolution, Systematik und stratigraphische Bedeutung der Neogenen Süßwasser gastropoden von Rhodos und Kos/Agais; Paleontographica Abt., A-Palaeozoologie-Stratigraphie, 174, 10-235, Stuttgart.

LEVHA 1

Şekil 1a-b. *Diloma (Oxystele) patulum* (Brocchi), x2.

Şekil 2a-b. *Bittium (B.) reticulatum* (Da Costa), x4.

Şekil 3a-b. *Cerithium (P.) bronni* Patsch, x3.

Şekil 4a-b. *Cerithium (T.) crenatum* var. *subcrenato-coronata* Sacco, x2.

Şekil 5a-b. *Cerithium (T.) varicosum* (Brocchi), x1.5.

Şekil 6a-b. *Cerithiopsis (C.) tubercularis* (Montagu), x3.

Şekil 7a-b. *Melanopsis gorciexi broti* Neumayr, x3.

Şekil 8a-b. *Melanoides tuberculata destefanii* (Magrograssi), x3.

Şekil 9a-b. *Turritella (Z.) subangulata* (Brocchi), x1.5.

PLATE I

Figure 1a-b. *Diloma (Oxystele) patulum* (Brocchi), x2.

Figure 2a-b. *Bittium (B.) reticulatum* (Da Costa), x4.

Figure 3a-b. *Cerithium (P.) bronni* Patsch, x3.

Figure 4a,b. *Cerithium (T.) crenatum* var. *subcrenato-coronata* Sacco, x2.

Figure 5a-b. *Cerithium (T.) varicosum* (Brocchi), x1.5.

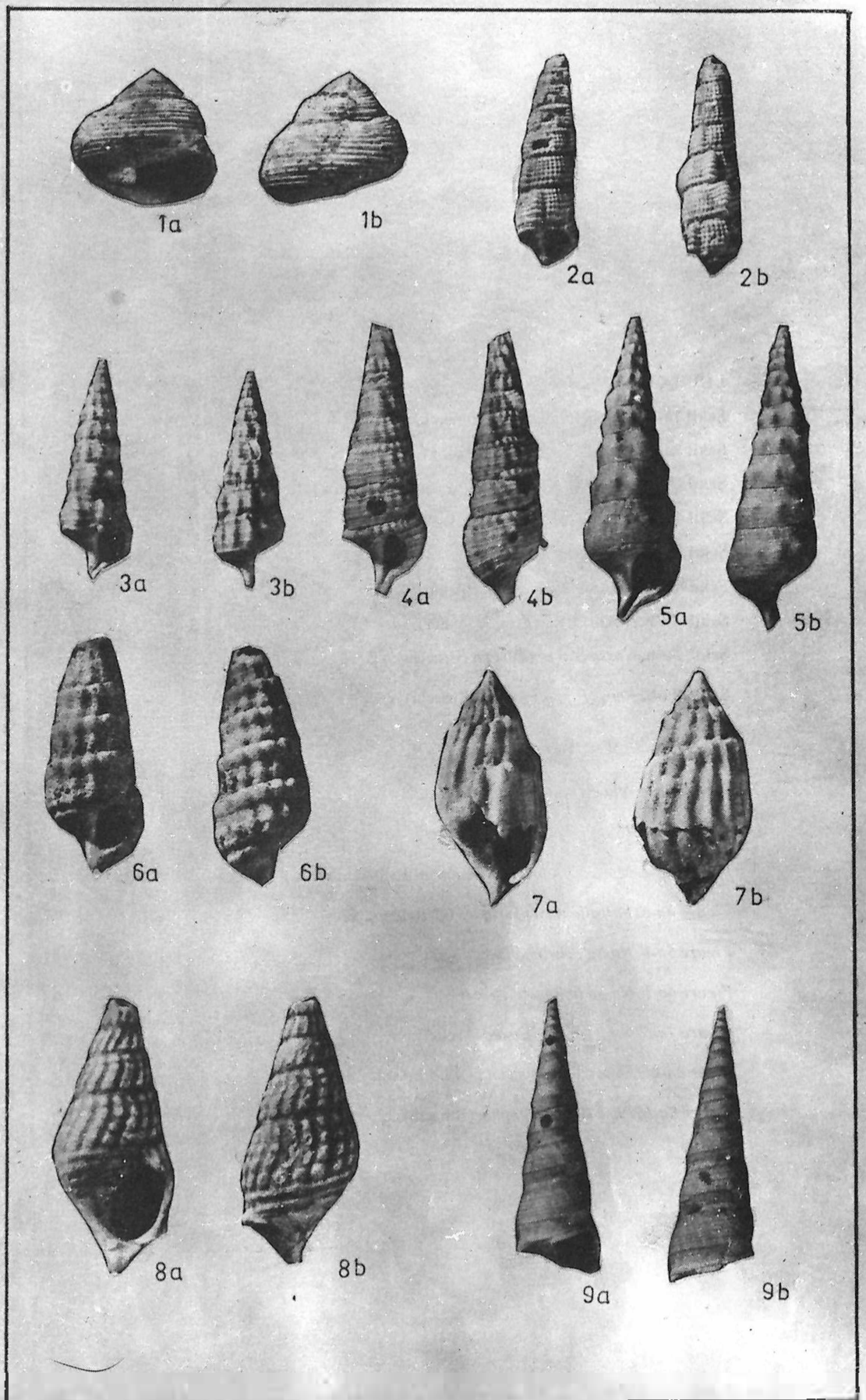
Figure 6a-b. *Cerithiopsis (C.) tubercularis* (Montagu), x3.

Figure 7a-b. *Melanopsis gorciexi broti* Neumayr, x3.

Figure 8a-b. *Melanoides tuberculata destefanii* (Magrograssi), x3.

Figure 9a-b. *Turritella (Z.) subangulata* (Brocchi), x1.5

PLATE I - LEVHA I



LEVHA II

Şekil 1a-d. *Natica milipunctata* Lamarck, xl.

Şekil 2a-b. *Neverita josephinia* Risso, xl.

Şekil 3a-b. *Murex (B.) brandis torularius* Lamarck, xl.

Şekil 4a-d. *Mitrella (M.) nassoides* (Grateloup), x2.

Şekil 5a-b. *Nassa concinna* Bellardi, x3.

Şekil 6a-b. *Nassa obliquata* Brocchi, x4.

Şekil 7a-b. *Nassa cf. incrassata* (Müller), x4.

Şekil 8a-b. *Nassa (A.) semistriata* (Brocchi), x2.

Şekil 9a-b. *Phos (P.) polygonum* (Brocchi), x2.

PLATE II

Figure 1a-d. *Natica millepunctata* Lamarck, xl.

Figure 2a-b. *Neverita josephinia* Risso, xl.

Figure 3a-c. *Murex (B.) brandis torularius* Lamarck, xl.

Figure 4a-d. *Mitrella (M.) nassoides* (Grateloup), x2.

Figure 5a-b. *Nassa concinna* Belardi, x3.

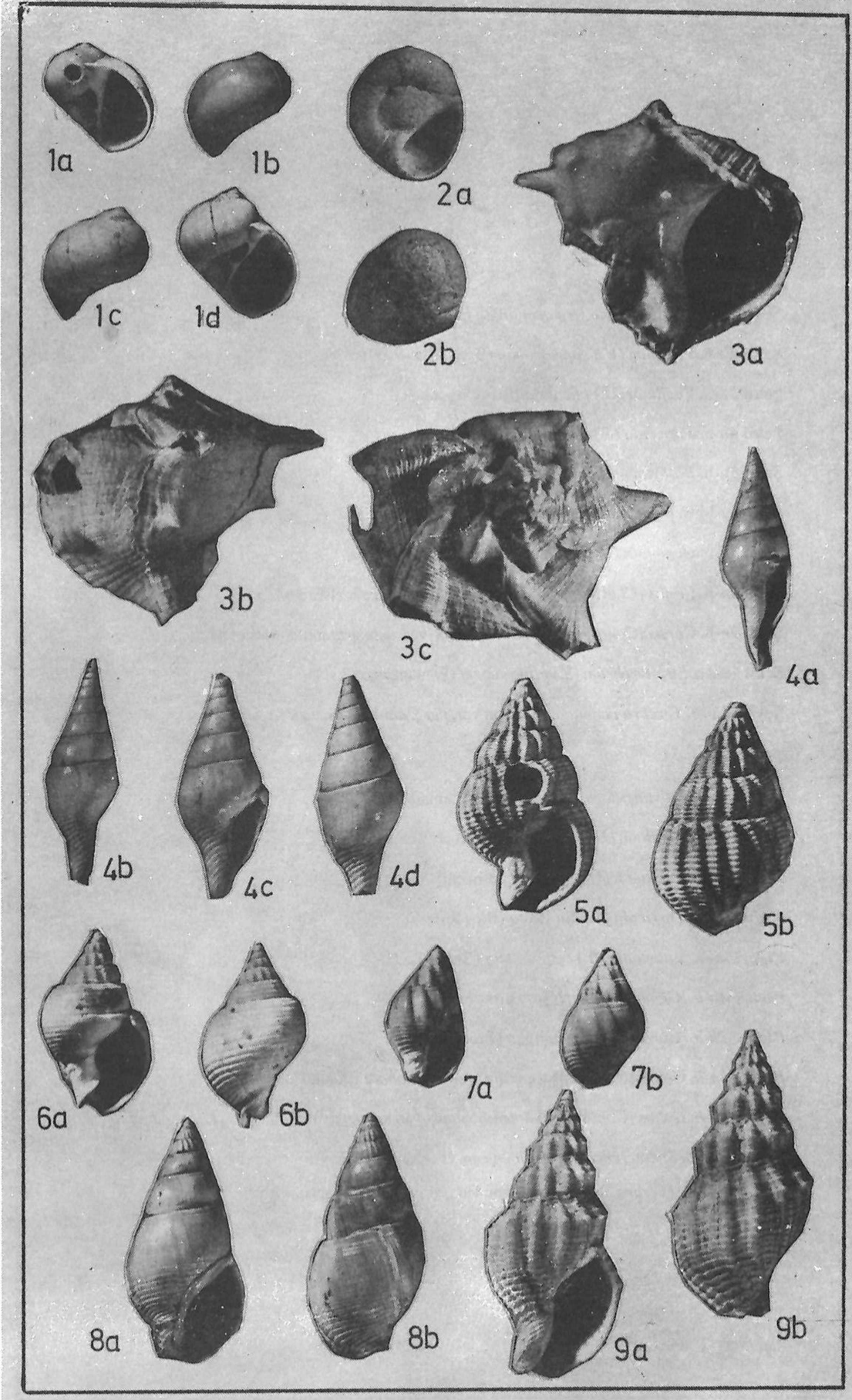
Figure 6a-b. *Nassa obliquata* Bracchi, x4.

Figure 7a-b. *Nassa cf. incrassata* (Müller), x4.

Figure 8a-b. *Nassa (A.) semistriata* (Brocchi), x2.

Figure 9a-b. *Phos (P.) polygonum* (Brocchi), x2.

PLATE II - LEVHA II



LEVHA III

Şekil 1a-b. *Olivancillaria (A.) acuminata* Lamarck, x4.

Şekil 2a-b. *Vexillum (U.) cypressinum* (Brocchi), x3.

Şekil 3a-b. *Vexillum (U.) plicatula* (Brocchi), x3.

Şekil 4a-b. *Turridula (S.) dimidiata* (Brocchi), xl.

Şekil 5a-b. *Bathytonia (B.) cataphracta* (Brocchi), xl.

Şekil 6a-b. *Gemmula (G.) rotata* (Brocchi), x1.5.

Şekil 7a-b. *Gemmula (U.) contigua* (Brocchi), x2.

Şekil 8a-b. *Conus (Chelyconus) pyrula* var. *micronata* Erünal-Erentöz, xl.

Şekil 9a-b. *Conus (Conospirus) antediluvianus* var. *subagranulata* Sacco, xl.

Şekil 10a-b. *Strioterebrum (S.) pliocenicum* (Fontannes), x3.

Şekil 11 a-b. *Terebra acuminata* Borson var. *pergranularis* Sacco, x1.5.

PLATE III

Figure 1a-b. *Olivancillaria (A.) acuminata* Lamarck, x4.

Figure 2a-b. *Vexillum (U.) cypressinum* (Brocchi), x3.

Figure 3a-b. *Vexillum (U.) plicatula* (Brocchi), x3.

Figure 4a-b. *Turridula (S.) dimidiata* (Brocchi), xl.

Figure 5a-b. *Bathytonia (B.) cataphracta* (Brocchi), xl.

Figure 6a-b. *Gemmula (G.) rotata* (Brocchi), x1.5.

Figure 7a-b. *Gemmula (U.) contigua* (Brocchi), x2.

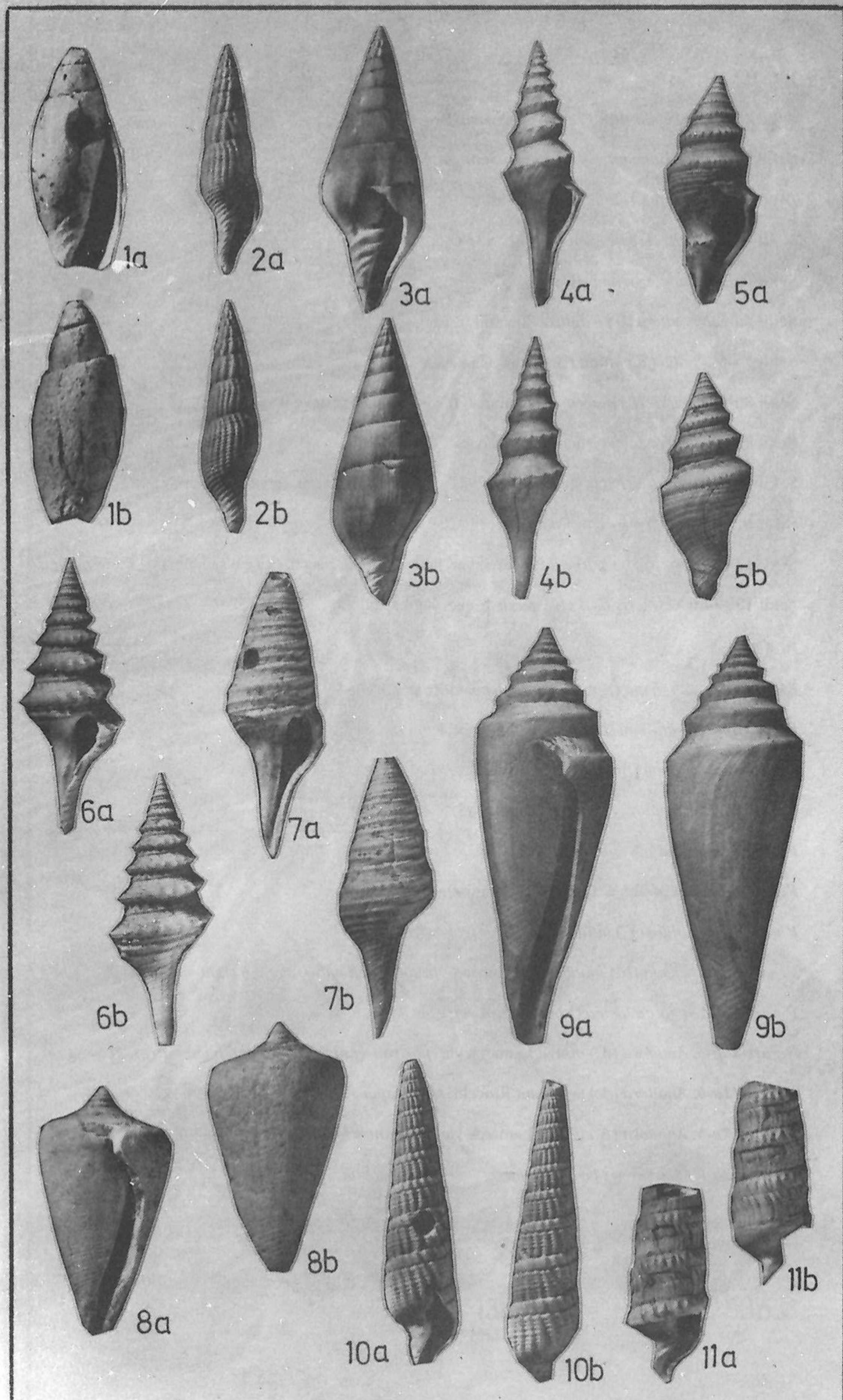
Figure 8a-b. *Conus (Chelyconus) pyrula* var. *micronata* Erünal-Erentöz, xl.

Figure 9a-b. *Conus (Conospirus) antediluvianus* var. *subagranulata* Sacco, xl.

Figure 10a-b. *Strioterebrum (S.) pliocenicum* (Fontannes), x3.

Figure 11a-b. *Terebra acuminata* Borson var. *pergranularis* Sacco, x1.5.

PLATE III - LEVHA III



LEVHA IV

Şekil 1a-b. *Ringicula (Ringiculina) buccinea* Brocchi, x4.

Şekil 2a-c. *Dentalium (D.) sexangulum* Schröter, xl.

Şekil 3. *Dentalium (Antalis) fossile* Schröter, xl.

Şekil 4. *Fustriaria cf. emersoni* Caprotti, x3.

Şekil 5. *Entalina tetragona* (Brocchi), x3.

Şekil 6a-c. *Nuculana (S.) fragilis* (Chamnitz), x5.

Şekil 7a-b. *Yoldia (Y.) nitida* (Brocchi), sağ kapak x4.

Şekil 8a-d. *Nucula (N.) placentina* Lamarck, (a ve b sol kapak, c ve d sağ kapak), x3.

Şekil 9a-b. *Striarca lactea* (Linne), sağ kapak, x3.

Şekil 10a-c. *Anadara (A.) diluvii* Lamarck var. *pertransversa* Sacco, (a ve b sol kapak), xl.

Şekil 11a-b. *Anadara (A.) pectinata* Brocchi, sağ kapak, x4.

Şekil 12a-b. *Anadara (A.) diluvii* Lamarck var. *pertransversa* Sacco, (a ve b sağ kapak), xl.

Şekil 13a-b. *Glycymeris (G.) glycymaris* Linne, sağ kapak, x3.

PLATE IV

Figure 1a-b. *Ringicula (Ringiculina) buccinea* Brocchi, x4.

Figure 2a-c. *Dentalium (D.) sexangulum* Schröter, xl.

Figure 3. *Dentalium (Antalis) fossile* Schröter, xl.

Figure 4. *Fustriaria cf. emersoni* Caprotti, x3.

Figure 5. *Entalina tetragona* (Brocchi), x3.

Figure 6a-b. *Nuculana (S.) fragilis* (Chamnitz), x5.

Figure 7a-b. *Yoldia (Y.) nitida* (Brocchi), right valve, x4.

Figure 8a-d. *Nucula (N.) placentina* Lamarck, (a and b left valve, c and d right valve), x3.

Figure 9a-b. *Striarca lactea* (Linne), right valve, x3.

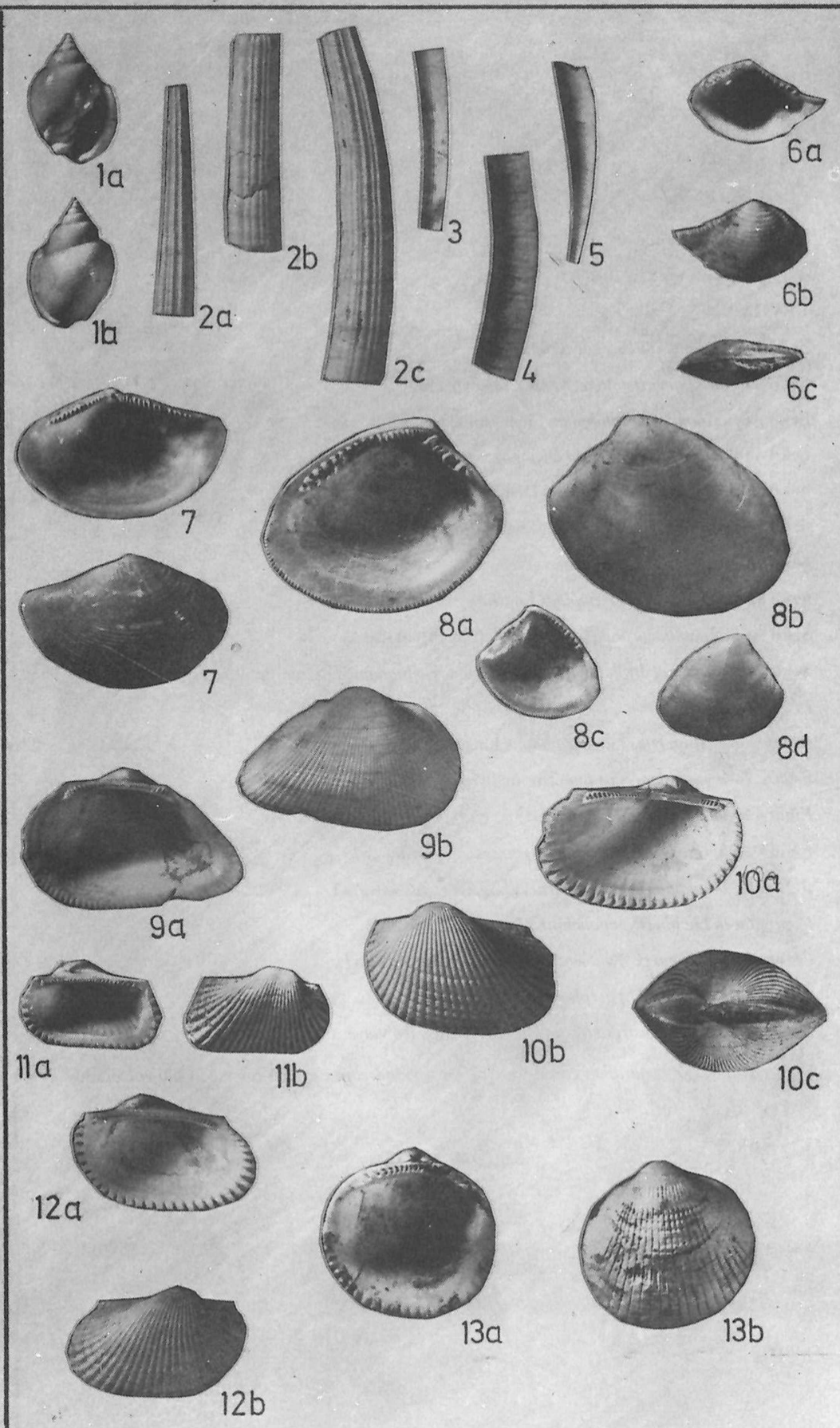
Figure 10a-c. *Anadara (A.) diluvii* Lamarck var. *portranversa* Sacco, (a and b left valve), xl.

Figure 11a-b. *Anadara (A.) pectinata* Brocchi, right kapak, x4.

Figure 12a-b. *Anadara (A.) diluvii* Lamarck var. *pertransversa* Sacco, (a and b right kapak), xl.

Figure 13a-b. *Glycymeris (G.) glycymaris* Linne, right kapak, x3.

PLATE IV - LEVHA IV



LEVHA V

Şekil 1a-b. *Spondylus (S.) gaederopus* Linne, sol kapak, x1.

Şekil 2a. *Amissum cristatum* (Bronn), sağ kapak, x1.

Şekil 3a-b. *Anomia cf. ephippium* Linne, sol kapak, x2.

Şekil 4a-b. *Ostrea (S.) forskallii* chenmitz, sağ kapak, x1.

Şekil 5a-b. *Lucina (L.) orbicularis* Deshayes, sağ kapak, x3.

Şekil 6a-b. *Lucina (P.) michelotti* Mayer, sağ kapak, x2.

Şekil 7a-b. *Chama (C.) placentina* (Defrance), sol kapak, x1.

Şekil 8a-b. *Chama (C.) gryphoides* Linne, sağ kapak, x2.

Şekil 9a-b. *Acanthocardia (A.) echinatum* (Linne), sol kapak, x3.

Şekil 10a-b. *Lynnocardium gracile* (Pusch) var. *mediterranea* Erünal-Erentöz, sağ kapak, x3.

PLATE V

Figure 1a-b. *Spondylus (S.) gaederopus* Linne, left valve, x1.

Figure 2a-b. *amissum cristatum* (Bronn), right valve, x1.

Figure 3a-b. *Anomia cf. ephippium* Linne, left valve, x2.

Figure 4a-b. *Ostrea (S.) forskallii* Chemnitz, right valve, x1.

Figure 5a-b. *Lucina (L.) orbicularis* Deshayes, rights valve, x3.

Figure 6a-b. *Lucina (P.) michelotti* Mayer, right valve, x2.

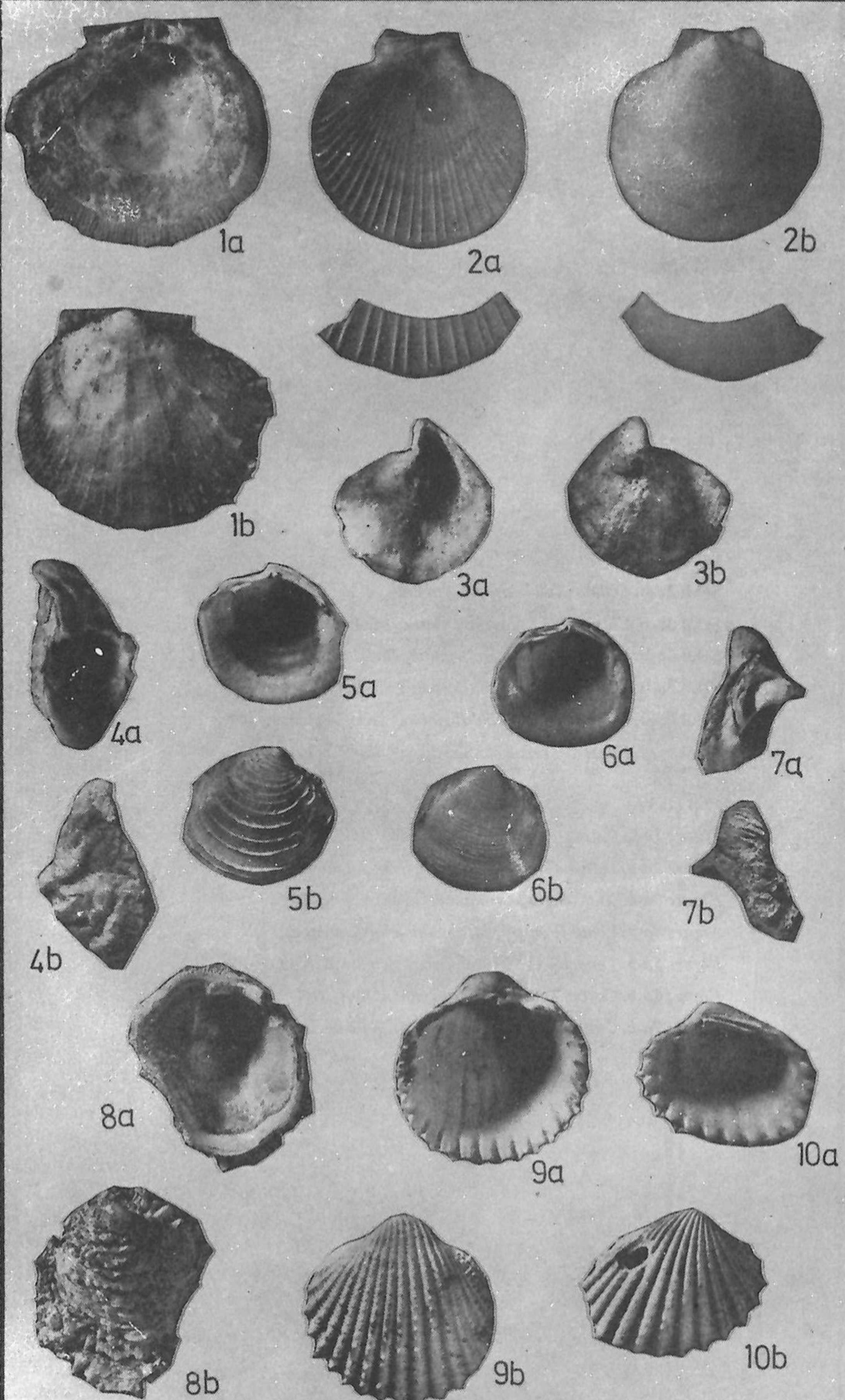
Figure 7a-b. *Chama (C.) placentina* (Defrance), left valve, x1.

Figure 8a-b. *Chama (C.) gryphoides* Linne, right valve, x2.

Figure 9a-b. *Acanthocardia (A.) echinatum* (linne), left valve, x3.

Figure 10a-b. *Lynnocardium gracile* (Pusch) var. *mediterranea* Erünal-Erentöz, right valve, x3.

PLATE V - LEVHA V



LEVHA VI

- Şekil 1a-b. *Cerastoderma (C.) edule* Linne, sol kapak, x1.5.
Şekil 2a-b. *Tellina (Telinella) distorta* Poli, sol kapak, x3.
Şekil 3a-b. *Clasinella fasciata* (Da Costa), sağ kapak, x3.
Şekil 4a-b. *Venus (Ventricolidea) multimella* (Lamarck), sağ kapak, x1.5.
Şekil 5a-b. *Timoclea (T.) ovata* (Pennant), sağ kapak, x3.
Şekil 6a-b. *Corbula (Varicorbula) gibba* (Olivi), sağ kapak, x4.
Şekil 7a-b. *Cuspidaria rostrata* Sepengl, sağ kapak, x3.

PLATE VI

- Figure 1a-b. *Cerastoderma (c.) edule* Linne, left valve, x1.5.
Figure 2a-b. *Tellina (Telinella) distorta* Poli, left valve, x3.
Figure 3a-b. *Clasinella fasciata* (Da Costa), right valve, x3.
Figure 4a-b. *Venus (Ventricolidea) multimella* (Lamarck), right valve, x1.5.
Figure 5a-b. *Timoclea (T.) ovata* (Pennant), right valve, x3.
Figure 6a-b. *Corbula (Varicorbula) gibba* (Olivi), right valve, x4.
Figure 7a-b. *Cuspidaria rostrata* Spengl, right valve, x3.

PLATE VI - LEVHA VI

